

III - 47 土のせん断強度に関する一実験

神戸大学工学部 正員 畑中元弘

土が振動という場合には、一般に内部摩擦角やせん断強度の σ_v が減少し、その程度は加速度と圍体の深さ z とが知られてゐる。筆者はセル型防振堰や、セルと圍体土とより成る防振堰模型の振動実験を行つたといふが、地震時におけるその非定常性と検討する資料として、また振動時における土の強度の一般性状を知るための準備実験として中詰土と有する小型セル模型の引張試験を行つた。

1. 実験装置および実験方法

実験装置は図-1に示すように、内径38cm、高さ28cmの鉄製セルとセルと内径の等しい円孔とある厚さ6.5cmの木製台上にのせ、セルの高さの $1/3$ 程に載荷できるようにしたものである。セルの変位は静的試験時にはダイヤルゲージで、動的試験時には垂リングで測定し、張力の測定にはバネ秤を用いた。この鉛直荷重は中詰土の自重のみである。動的試験ではこの装置を積層式UBC-10型振動台上に設置し、(a)振動台の加速度が一定で張力を増加させる定加速度試験と、(b)張力が一定とし加速度を増加させる定荷重試験を行ない、極限荷重と加速度との關係を調べた。台の加速度は定加速度試験の場合には振動台の変位と振動型ダイヤルゲージによつて調節し、定荷重試験ではダイヤルゲージの加速度計を用い、両試験ともに変位測定用垂リングおよび載荷時刻ありいは台の加速度とともに電磁オウエログラフにより同時記録をとつた。中詰土は神戸市鶴甲山産の真砂土で、図-2は粒径加積曲線を示したものである。中詰土は3層のわけで特別に製作したランマーでつた全國の。本実験における中詰土の含水比 w および乾燥密度 ρ_d はそれぞれ、6~8% および1.5~1.6であつた。

2. 実験結果とその考察

図-3は静的試験における張力とセルの変位との關係の一例を示したもので、 ρ_d が大まか過ぎると強度の増加が著しく、また張力と変位との關係は図中の黒丸で示したように、必ずしもあるが一般に階

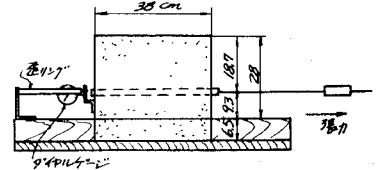
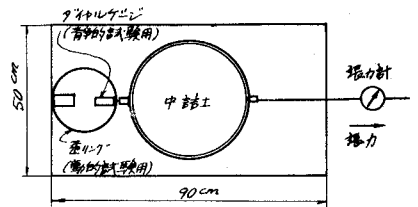


図-1 引張試験装置

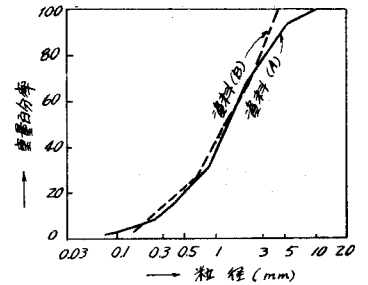


図-2 粒径加積曲線

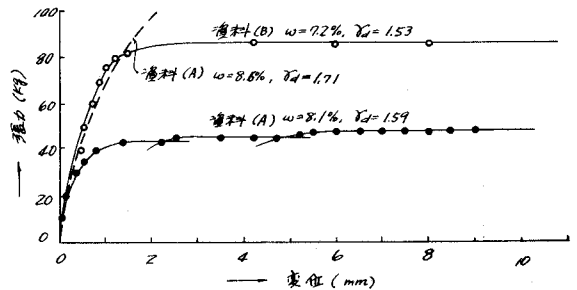


図-3 静的試験における張力変位曲線の一例

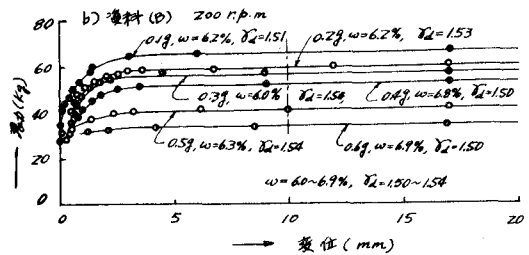
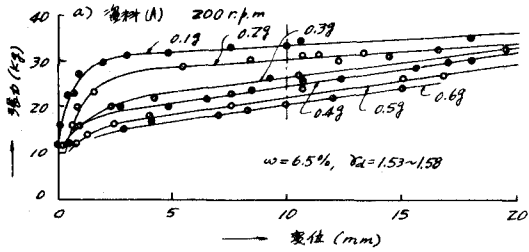


図4 振動時における張力-変位曲線 (圧加速度試験)

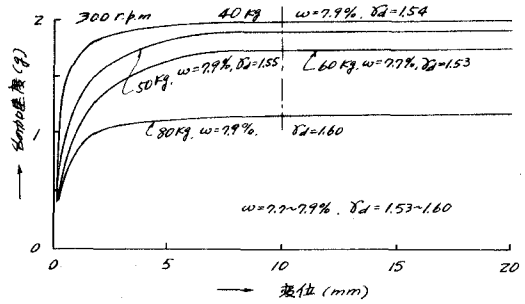


図5 振動時における加速度-変位曲線 (圧荷重試験, 渣料(B))

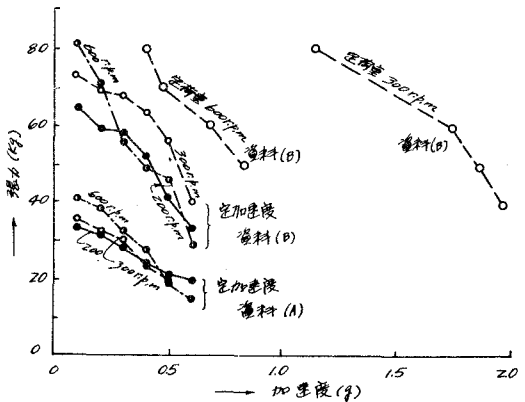


図6 張力-加速度曲線 (変位10mm以内の値)

段状に變化する。この $w=6\sim 8\%$, $\bar{\sigma}_2=1.5\sim 1.6$ 程度ではセルの変位が約2mm程度では最大荷重に達するに比べて10mm以上は。図-4は圧加速度試験における振動時の張力とセルの変位との関係を表したもので、一例として振動数が200rpmの場合を示した。同様に水は渣料(B)ではセルの変位が3mm程度で最大張力に達していき、渣料(A)では変位の増大とともに張力が一様に増加してゆく。一試験に要する時間は加速度0.1~0.6gに対し、渣料(A)(B)ではそれぞれ約60~30sec、および130~50secであり、前記の両渣料の相違はおよそこの載荷速度の相違によるものである。また図-5は圧荷重試験における台の加速度とセルの変位との関係を示したもので、セルの変位が約6mm以上では最大張力に達してゆく。一試験に要する時間は圧荷重80~40kgに対して、回転数が300および600rpmの場合ではそれぞれ約5~18sec、および9~22secである。この振動時におけるセルの極限張力として、一セルの変位が10mmにおける値として、この極限張力と加速度との関係を示せば図-6のようになる。同様に水は次の2点が明らかとなる。

- (1) 圧加速度、圧荷重試験の場合ともに加速度の増大とともに極限張力が減少する。
- (2) 両試験の場合ともに載荷条件、加速度の増加速度も含めてこの載荷速度によつて同一極限張力に対応する加速度が二つあり、載荷速度が早い場合には見掛け上の強度が増加する。

以上の結論はまた準備実験の段階におけるものであり、新しく試作したせん断試験器による試験の準備を進めていくので、この渣料と集積した上で詳しく検討したいと考えている。終りに本実験に際し援助を蒙つた本学学生と重敬士君に謝意を表す。